

УДК 539.374 : 54.84

## ЛОКАЛЬНЫЕ ДИСЛОКАЦИОННЫЕ ЭЛЕКТРОННЫЕ УРОВНИ В ЩЕЛОЧНО-ГАЛОИДНЫХ КРИСТАЛЛАХ

*A. A. Кусов, M. I. Клингер, B. A. Закревский*

На основе метода решеточных функций Грина, исходя из известной трехмерной конфигурации ионов в ядре дислокации для кристаллов NaCl, KCl, LiF, рассчитано электрическое возмущение, вызывающее отщепление  $\Delta_c$ , локальных дислокационных уровней от дна зоны проводимости и потолка валентной зоны.

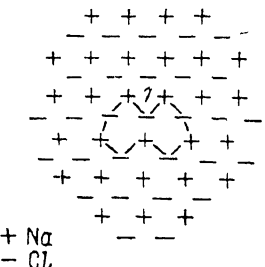
Свойства реальных кристаллов во многом определяются дефектностью их структуры. В частности, сильное влияние на электронный спектр оказывают дислокации. К настоящему времени известен целый ряд работ, в которых изучалась электронная структура полупроводниковых кристаллов с дислокациями [1-3]. Меньшее внимание уделяется ионным кристаллам, в том числе щелочно-галоидным, хотя они находят широкое применение в ряде областей современной техники. Известно лишь несколько экспериментальных [4, 5] и теоретических [6, 7] работ, в которых предприняты попытки определить положение дислокационных уровней в энергетической щели. Согласно [4], локальный дислокационный уровень отщепляется от дна зоны проводимости кристалла NaCl на 0.7 эВ. Изучая деформационно-стимулированную люминесценцию облученных (окрашенных) щелочно-галоидных кристаллов (ЩГК), авторы работы [5] на основе представлений об ионизации движущимися дислокациями электронных центров окраски пришли к выводу о том, что в кристалле KCl существует дислокационный уровень, отщепляющийся от дна зоны проводимости примерно на 2 эВ.

Представляется, однако, что в поле дислокации вблизи ядра происходит заметное смещение положения самого уровня точечного дефекта. Как следует из [8], в кристалле KCl при деформации решетки вблизи ядра  $\varepsilon=0.06$  положение полосы поглощения F-центра изменяется примерно на 0.7 эВ. В работе [7] предложена полуэмпирическая схема расчета величины отщепления дислокационных уровней от потолка валентной зоны и дна зоны проводимости в некоторых ЩГК. Поскольку эта схема опирается на данные эксперимента [5], на нее также распространяется вышеупомянутое замечание к работе [5]. В связи с этим значительный интерес представляет не зависимый от эксперимента расчет  $\Delta_c$  (отщепление дислокационного уровня от потолка валентной зоны) и  $\Delta_e$  (отщепление от дна зоны проводимости). Первый подобный расчет был сделан в работе [6] на основе метода решеточных функций Грина [9]. Получены оценочные величины  $\Delta_c \sim 2-7$  эВ. Потенциал возмущения в ядре по существу строго не рассчитывался из известной конфигурации ионов в ядре дислокации, но выбирался в виде  $V_0 = e^2/a$  в рамках модели двумерного кристалла ( $a$  — половина постоянной решетки,  $e$  — заряд электрона). Модель двумерного кристалла, однако, не является адекватной для расчета энергии Маделунга трехмерного кристалла.

В настоящей работе проведен прямой расчет потенциала возмущения  $V_0$  (а значит, и  $\Delta_c$ ) в более реалистической модели трехмерного кристалла,

основываясь на численных данных о конфигурации ионов в ядре дислокации кристалла NaCl [10]. Роль возмущающего потенциала  $V_0(r^*) = V_m - V_m(r^*)$ , локализованного в ядре дислокации, играет разность потенциалов Маделунга в ядре  $V_m(r^*)$  и в невозмущенной решетке  $V_m$ . За линию локализации возмущения принята линия, параллельная линии дислокации, на которой возмущение  $V_0(r^*)$  достигает максимума. Вычисления показали, что для краевой дислокации эта линия проходит через ион с номером  $I$  перпендикулярно плоскости рисунка. В случае винтовой дислокации отсутствие рассчитанной конфигурации ионов в ядре дислокации сделало необходимым использовать приближение линейной теории упругости, что, конечно, несколько снижает точность расчета  $\Delta_{r,c}$  по сравнению со случаем краевой дислокации.

Согласно теории одномерных возмущений [9], возмущение, вносимое ядром дислокации, вызывает отщепление электронных уровней, которое можно оценить посредством следующей формулы:



$$\Delta_{r,c} = \frac{B_{v,c}}{\left[ \exp(B_{v,c}/V_0) - 1 \right]}. \quad (1)$$

Здесь  $B_v$ ,  $B_c$  — ширины верхней валентной зоны  $v$  и нижней зоны проводимости  $c$ ;  $V_0 = e^2(\alpha - \alpha^*)/a$  — возмущение, вносимое ядром дислокации;  $\alpha^*$  имеет смысл величины «локального» коэффициента Маделунга для линии локализации возмущения ( $\alpha^* < \alpha$ ). Поскольку  $B_{r,c}$  известны из опыта с хорошей точностью [11], расчет  $\Delta_{r,c}$  сводится к вычислению  $V_0$  (или  $\alpha^*$ ).

Структура ядра краевой дислокации в плоскости залегания (110) в NaCl. При этом использован стандартный прием [12] с мысленным разбиением всей решетки на совокупность линий знакопеременных ионов, параллельных ядру дислокации.

Энергия взаимодействия пробного иона  $I$   $W_i$  с  $i$ -й линией знакопеременных ионов (проходящей через ион с номером  $I$ ; см. рисунок) определяется известным выражением [10, 12]

$$W_i = \frac{4e^2}{a} \sum_{l=1}^{\infty} K_0 \left[ \frac{\pi(2l-1)x_i}{a} \right] \text{sign}(q_i), \quad (2)$$

где  $K_0(z)$  — модифицированная функция Бесселя,  $q_i$  — заряд  $i$ -го иона,  $l$  — целое число. Воспользовавшись этой формулой и записав полную энергию

$$W = \sum_{i=2}^N W_i - \frac{e^2}{a} 2 \ln 2$$

в виде суммы энергий от всех линий (число  $N$  которых конечно), получим формулу для расчета  $\alpha^*$

$$\alpha^* = 2 \ln 2 - 4 \sum_{i=2}^N K_0 \left[ \frac{\pi x_i}{a} \right] \text{sign}(q_i). \quad (3)$$

Здесь член  $2 \ln 2$  описывает энергию взаимодействия иона  $I$  с ионами линии, к которым он сам принадлежит. Расчет  $\alpha$  для идеальной решетки дает по этой формуле  $\alpha = 1.7447$  для приближения трех ближайших сфер, что с точностью  $10^{-3}$  близко к истинному коэффициенту Маделунга  $\alpha = 1.7476$ . В рамках того же самого приближения, исходя из известной конфигурации атомов ядра (рис. 1 из работы [10]), мы получим следующую величину возмущения:  $V_0 = 0.123 e^2/a$  ( $\alpha - \alpha^* = 0.123$ ) для краевой дислокации.

Если сравнить это возмущение с возмущением  $V_0 = e^2/a$  из [6], то видно, что приближение двумерного кристалла [6] чрезвычайно грубо и дает величину возмущения, почти на порядок превышающую истинную величину. Для винтовой дислокации вместо (3) следует использовать формулу

$$\alpha^* = 2 \ln 2 - 4 \sum_{i=2}^N K_0\left(\frac{\pi x_i}{a}\right) \cos \frac{\pi z}{a} \operatorname{sign}(q_i), \quad (4)$$

где  $z = 6\theta/2\pi$ ;  $\theta$  — угол между вектором  $x_i$  и осью  $x$ ;  $b$  — вектор Бюргерса. Рассчитанное возмущение  $V_0 = 0.3e^2/a$  оказалось в этом случае несколько выше, чем для случая краевой дислокации.

#### Отщепление локальных дислокационных уровней в некоторых ИГК

Кристалл	$E_g$	$B_v$	$B_c$	$\Delta_{v}^k$	$\Delta_{c}^k$	$\Delta_{v}^B$	$\Delta_{c}^B$
	эВ						
NaCl	8.8	4.1	5.3	0.01	0.027	0.4	0.24
LiF	14.2	6.1	4.4	0.01	0.043	0.46	0.76
KCl	8.7	2.7	2.45	0.038	0.05	0.55	0.61

Приложение.  $E_g$  — ширина запрещенной зоны,  $B_v$  — ширина верхней валентной зоны  $B_c$  — ширина нижней зоны проводимости,  $\Delta_{v}^k, B$  — отщепление электронного уровня от потолка валентной зоны для краевой и винтовой дислокаций соответственно,  $\Delta_{c}^k, B$  — отщепление электронного уровня от дна нижней зоны проводимости для краевой и винтовой дислокаций соответственно.

В таблице приведены результаты расчета  $\Delta_{v, c}$  по формуле (1), исходя из вычисленного выше возмущения и известным из литературы ширинам зон проводимости  $B_c$  и валентной зоны  $B_v$  для трех кристаллов: NaCl, LiF и KCl. Из этой таблицы видно, что даже в случае винтовых дислокаций  $\Delta_{v, c} < 1$  эВ. В случае краевой дислокации отщепление и вовсе составляет величину, меньшую 0.1 эВ. Порядок вычисленных нами  $\Delta_{v, c} \sim 0.1 \div 0.3$  эВ для дислокаций в полупроводниках. Близость отщеплений в кристаллах разных типов обусловлена, очевидно, тем, что их величина определяется ширинами соответствующих зон, а не шириной щели.

Сравнительно слабое отщепление электронных уровней потребует, по-видимому, и пересмотра существующих механизмов [7] электронных переходов при пересечении дислокаций, обнаруженных на эксперименте [18].

#### Список литературы

- [1] Dislocations in solids. N. Y., 1980. V. 5. 420 p.
- [2] Claesson A. // Phys. St. Sol. 1974. V. 61. N 2. P. 599—606.
- [3] Шикин В. Б., Шикина Н. И. // ФТТ. 1988. Т. 30. № 5. С. 1297—1304.
- [4] Ермаков Г. А., Надгорный Э. М. // Письма в ЖЭТФ. 1971. Т. 14. № 1. С. 45—47.
- [5] Шмурак С. З., Сенчуков Ф. Д. // ФТТ. 1973. Т. 15. № 10. С. 2976—2982.
- [6] Губанов А. И. // ФТТ. 1979. Т. 21. № 3. С. 730—734.
- [7] Молоцкий М. И. // Кинетика и катализ. 1981. Т. 22. № 5. С. 1153—1161.
- [8] Wood R. F., Opik U. // Phys. Rev. 1969. V. 199. N 3. P. 783—796.
- [9] Brown R. A. // Phys. Rev. 1967. V. 156. N 3. P. 889—902.
- [10] Eisenblatter J. // Phys. St. Sol. 1969. V. 31. N 1. P. 71—85.
- [11] Poole R. T. et al. // Phys. Rev. (B). 1975. V. 11. N 12. P. 5179—5188.
- [12] Madelung E. // Phys. Z. 1918. V. 19. N 19. P. 524—530.
- [13] Закревский В. А., Шульдинер В. А. // ФТТ. 1985. Т. 27. № 10. С. 3042—3046.